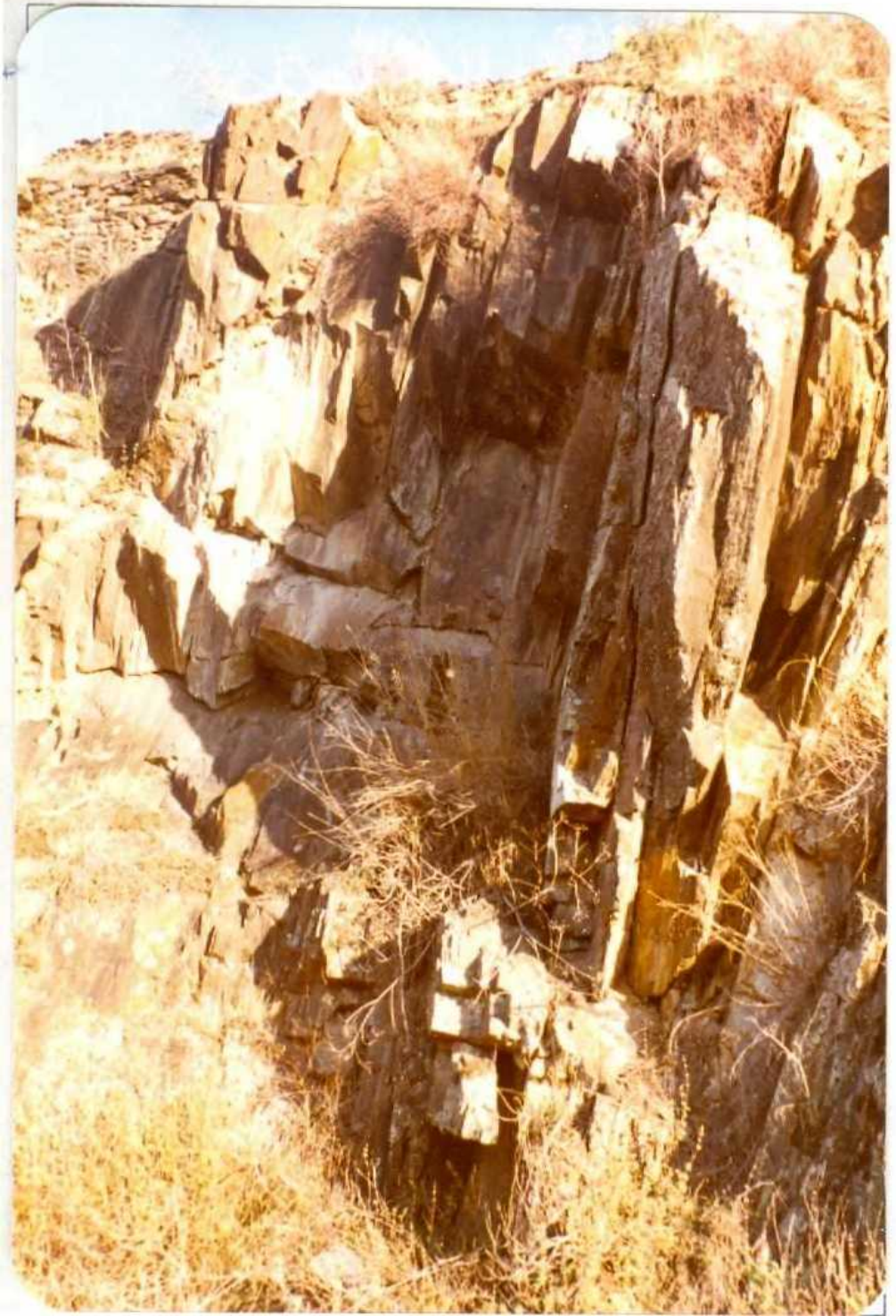


LB9501

Vista parcial de esquistos del C.E.G. (Precámbrico Sup.) en las las proximidades al Puente de Alcántara.



LB 9502

Detalle de pizarras mosqueadas de la aureola de metamorfismo en las proximidades a Estorninos.



LB9503

Panorámica de los materiales pliocuaternarios tipo "raña" (1) de los derrubios de ladera (2) que recubren parcialmente en las zonas bajas a los sedimentos del C.E.G. (3).



LB9504

Detalle de los derrubios de ladera de naturaleza cuarcítica, de la foto anterior.



LB9505

Panorámica de granitos biotíticos-moscovíticos en megacristales feldespáticos en la c.c. Piedras Albas-Zarza la Mayor.



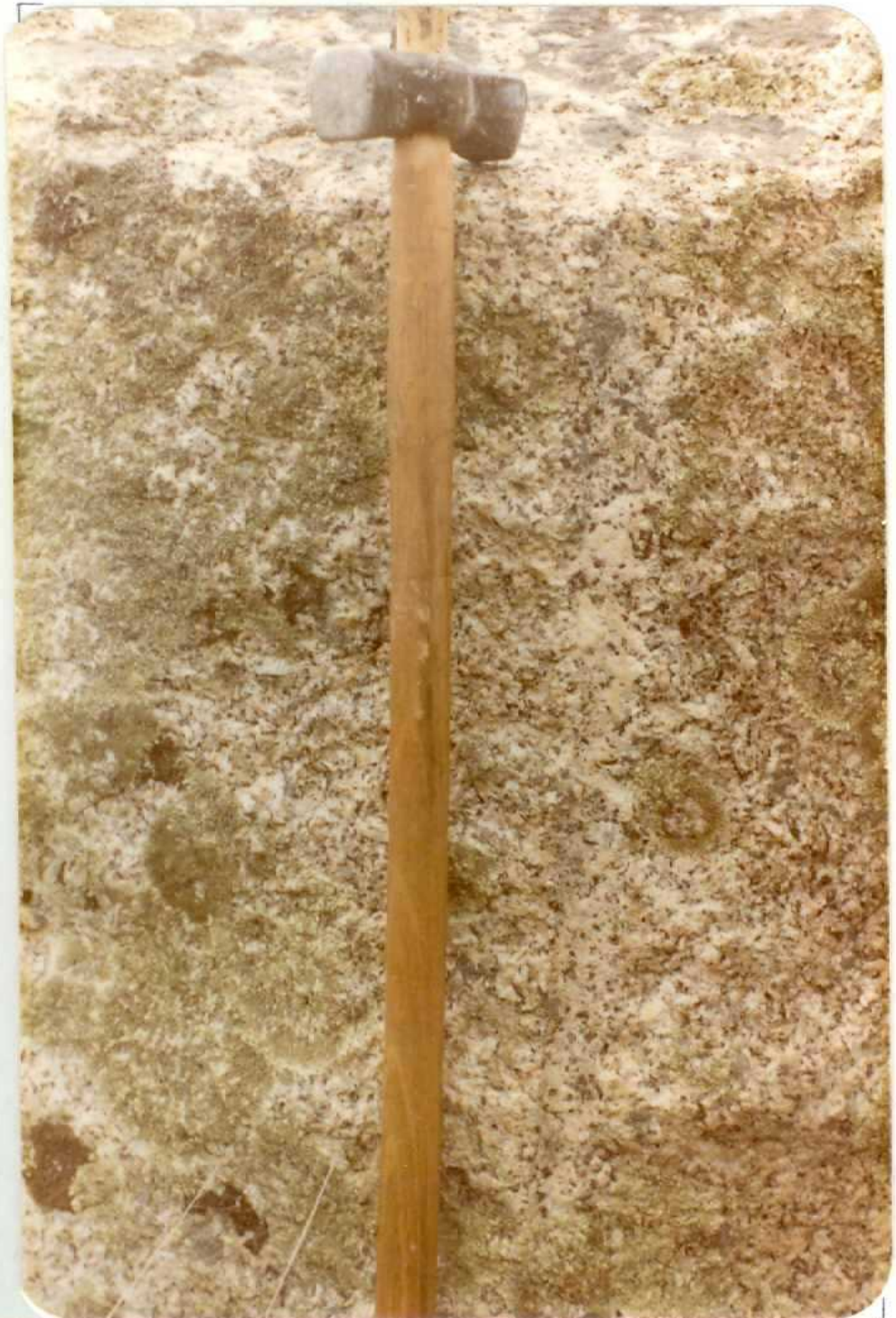
LB 9506

Detalle de la alteración de los granitos de la foto anterior.



LB 9507

Panorámica del contacto entre las pizarras mosqueadas (1) y los granitos biot.-mosc con megacristales feldespáticos (2). Al fondo el pueblo de Segura (Portugal).



LB9508

Detalle de un corte fresco de los granitos de la foto anterior.



LB9509

Panorámica de los granitos de dos micas de grano grueso (Estorninos).



LB9510

Detalle de los granitos de la foto anterior.



LB95H

Vista parcial de explotación de cornubianitas en la c.c. Alcántara-Piedras Albas.



LB9512

Vista parcial de pizarras mosqueadas y cornubianitas de la foto anterior atravesados horizontalmente por un dique - aplítico.



LB9513

Panorámica de explotación de granitos de dos micas de grano grueso (Estorninos) para material de construcción de la presa de Alcántara.



LB9514

Panorámica de la boca de mina de explotación abandonada de estaño existente en las proximidades a la frontera - portuguesa.



LB 9515

Detalle del dique de cuarzo existente al O. de Estorninos.